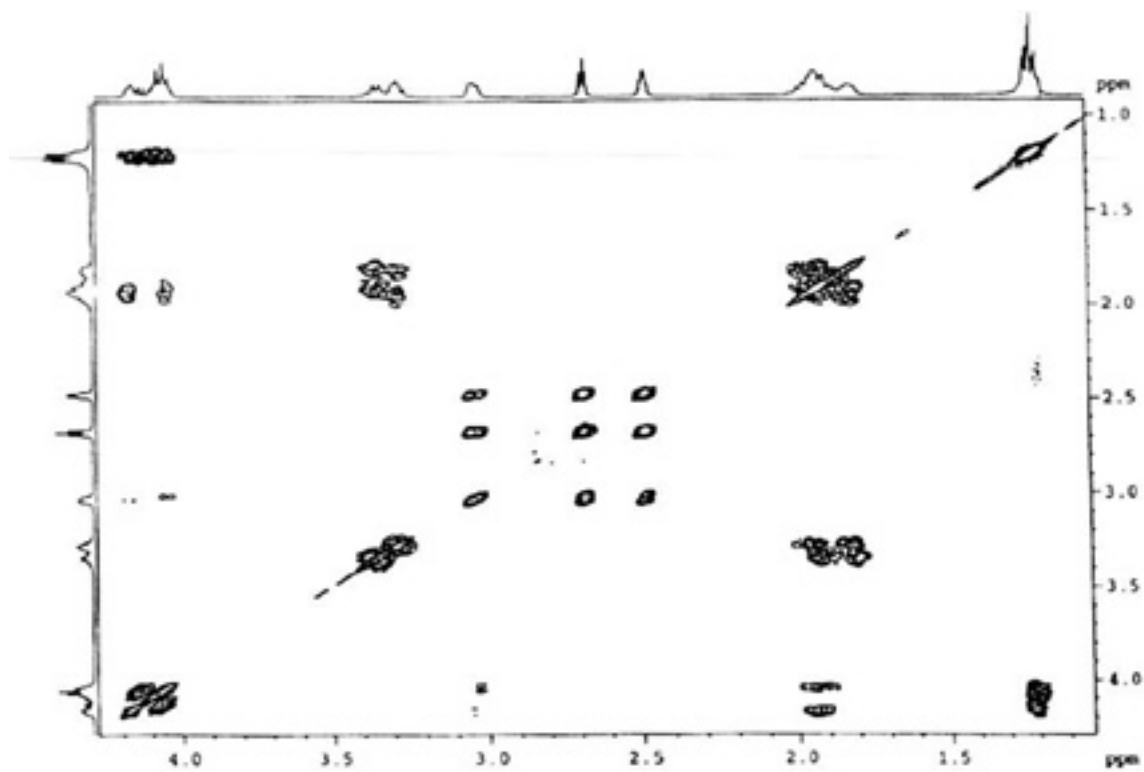
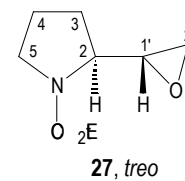
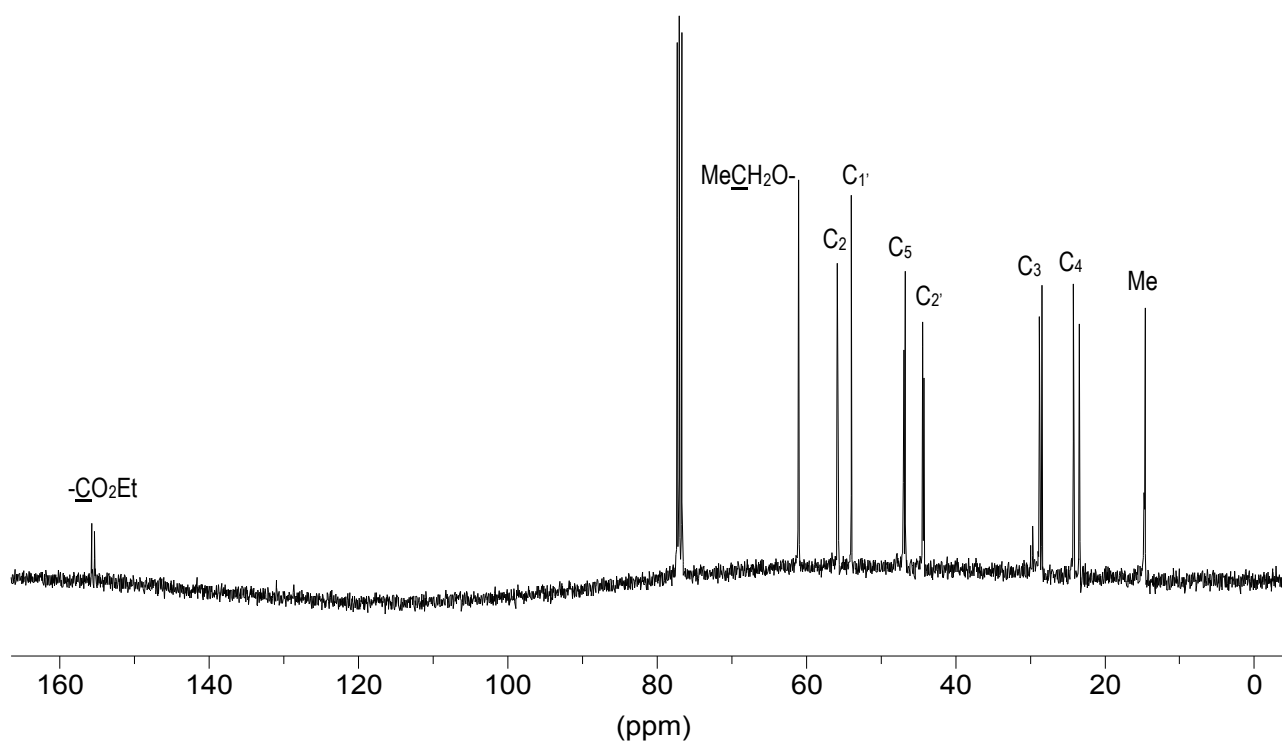
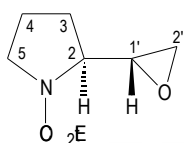
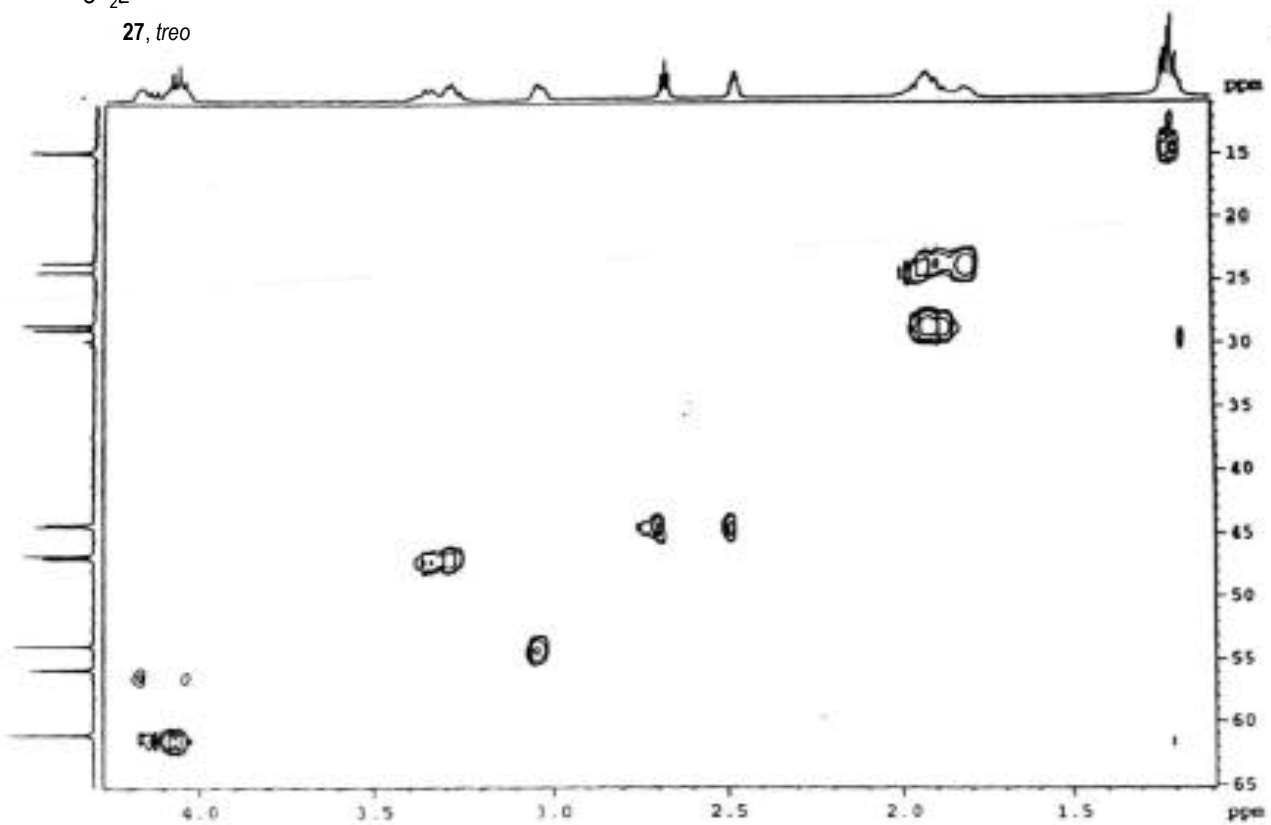
¹H-RMN (400 MHz, CDCl₃) de 27COSY (400 MHz, CDCl₃, 250 K) de 27



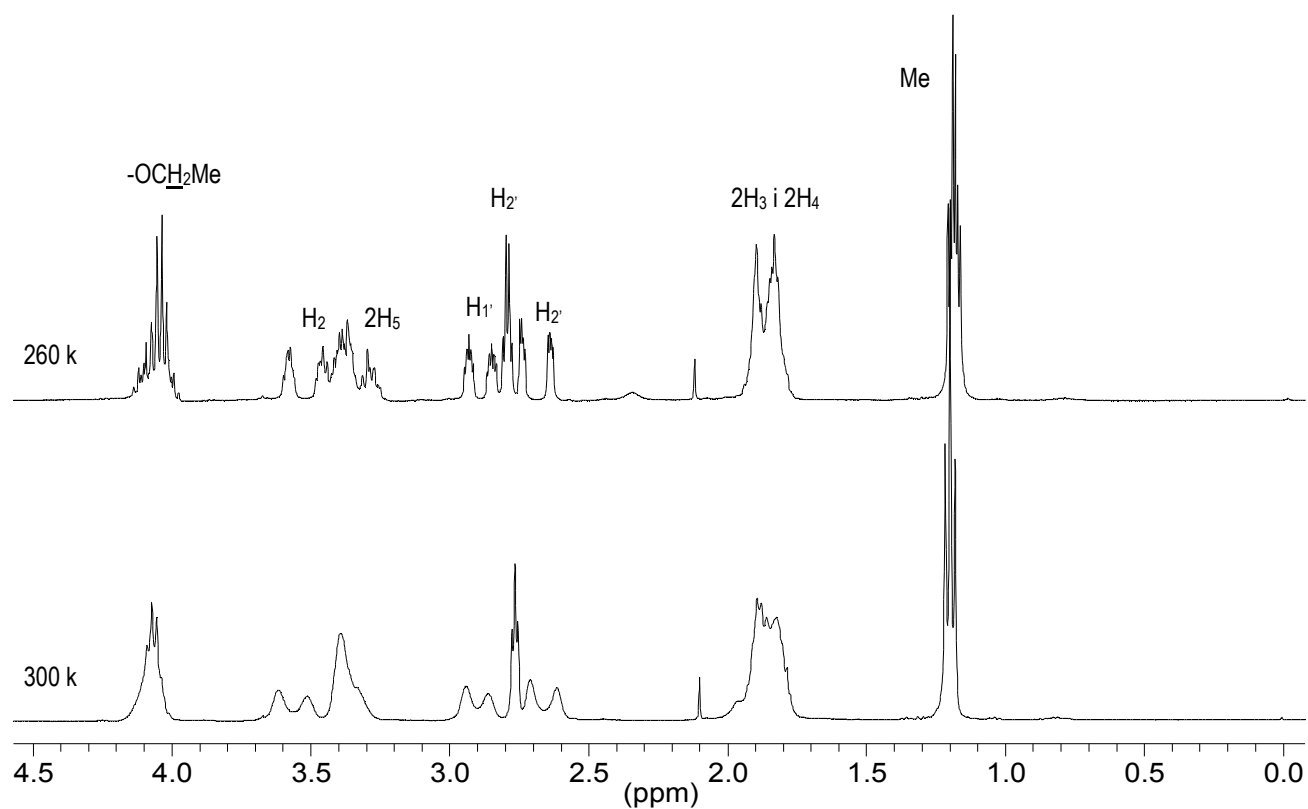
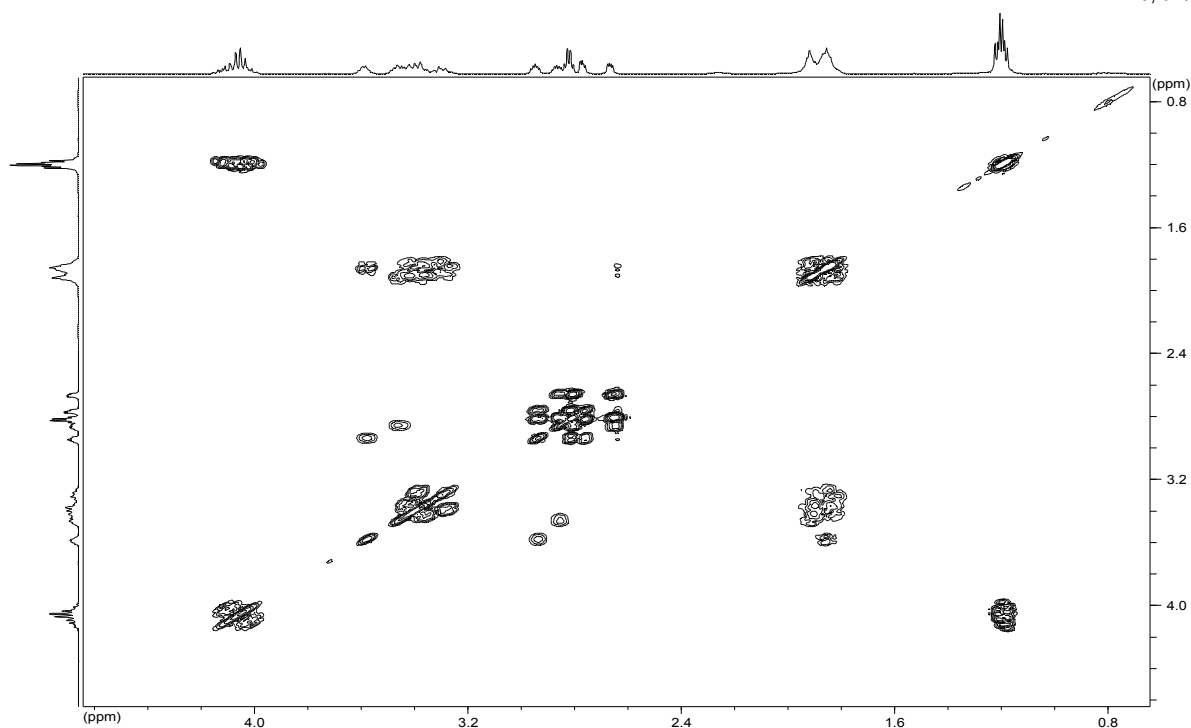
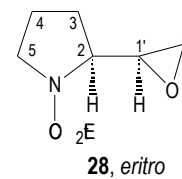
¹³C-RMN (100 MHz, CDCl₃, 250 K) de 27

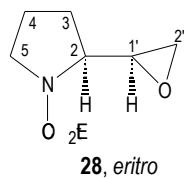
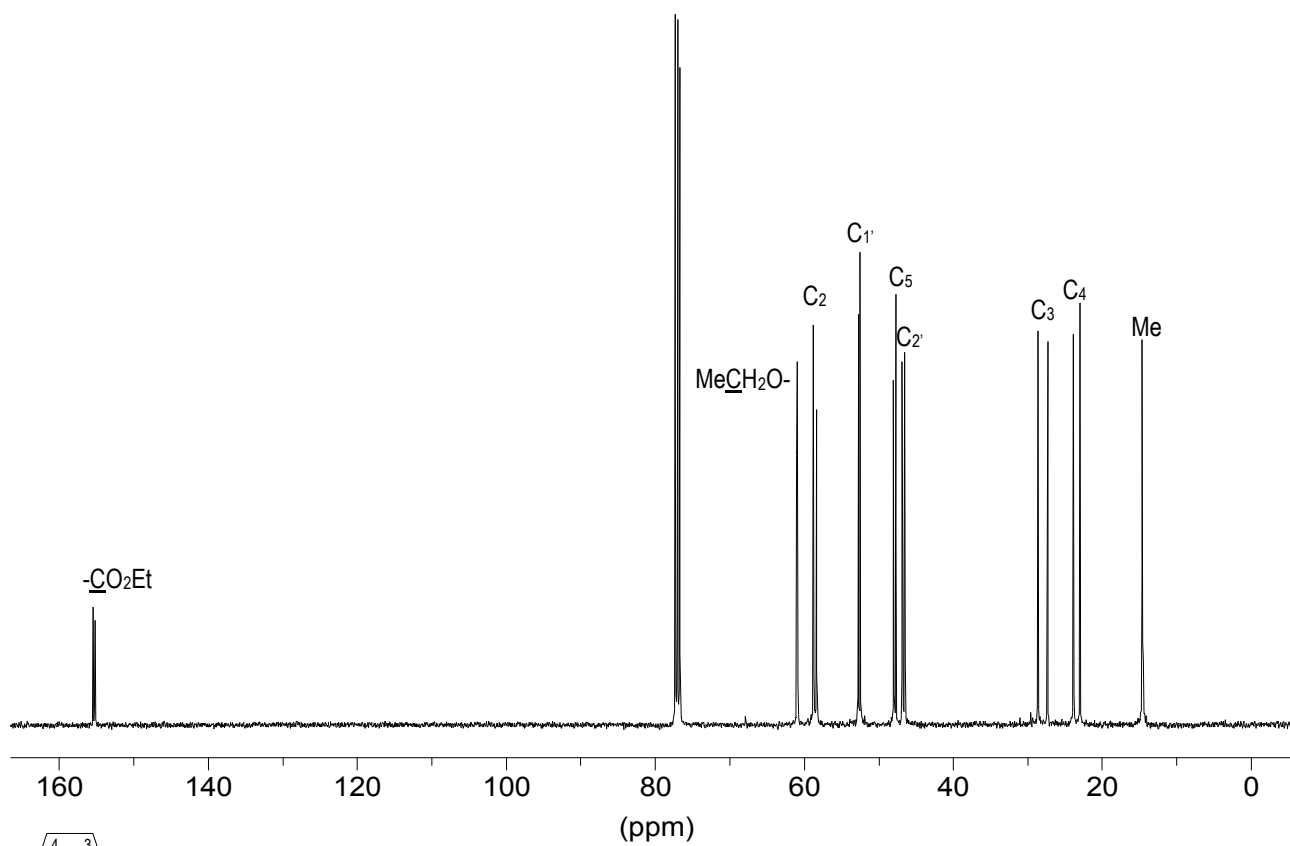


27, *treo*

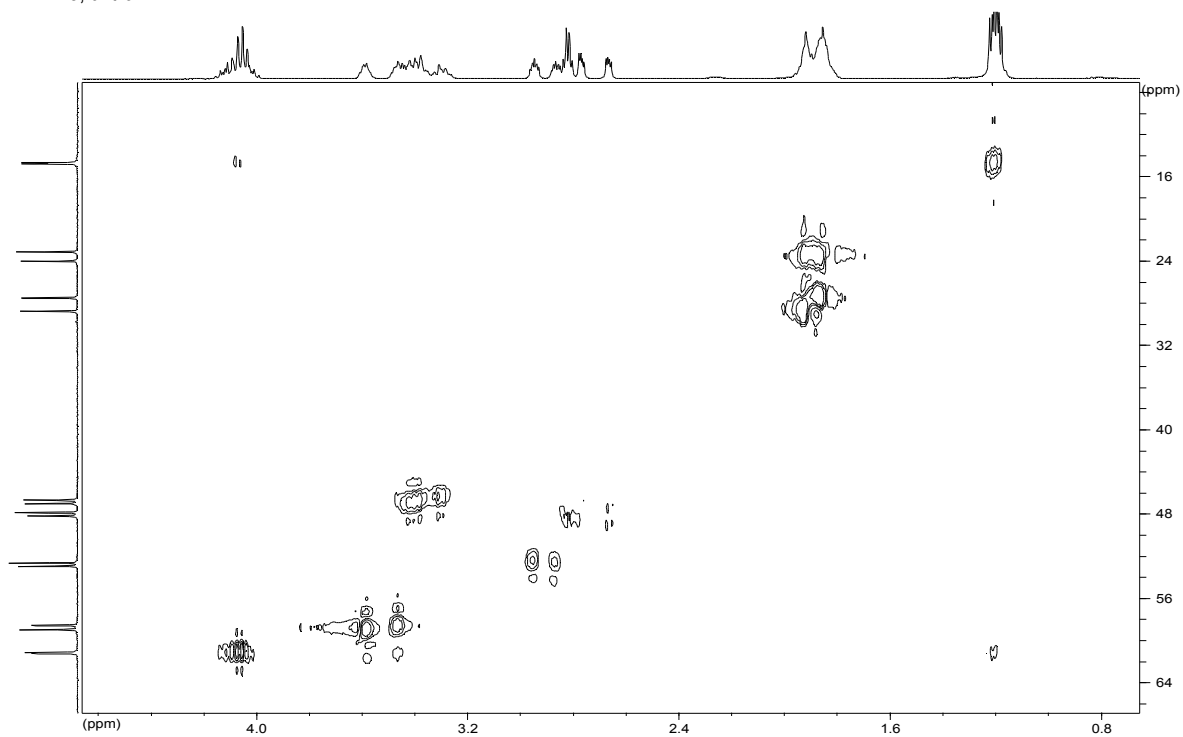


Correlació ¹H/¹³C (400 MHz, CDCl₃, 250 K) de 27

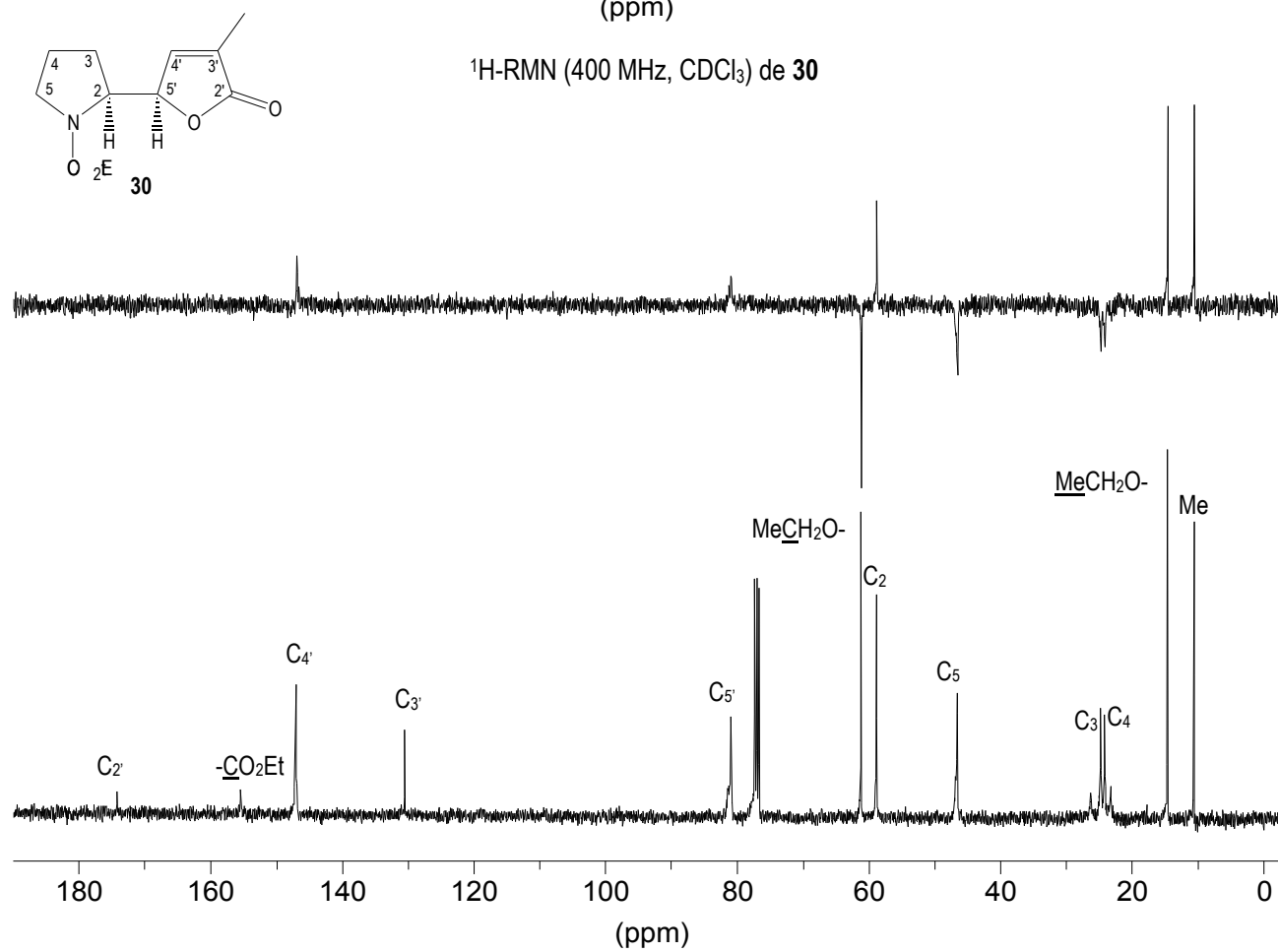
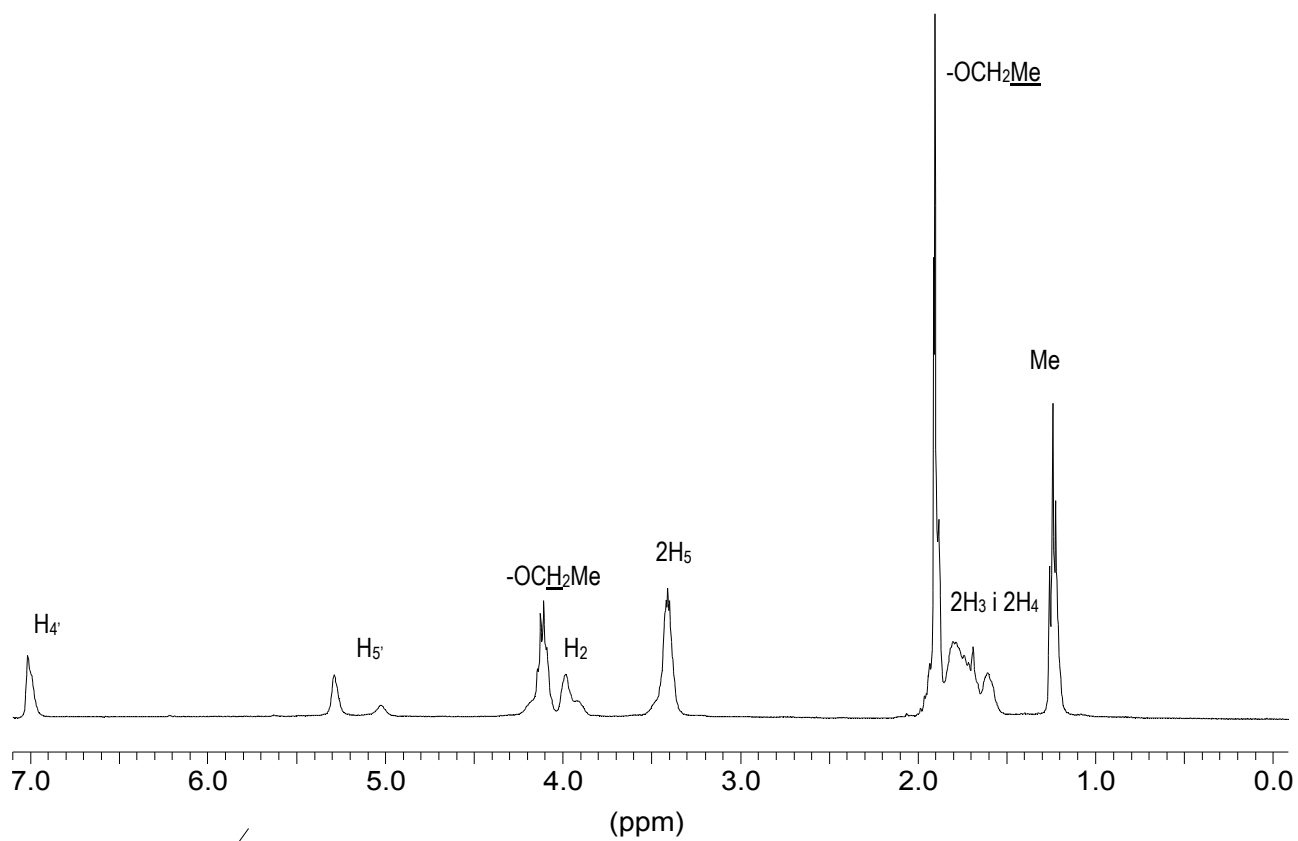
 ^1H -RMN (400 MHz, CDCl_3) de **28**COSY (400 MHz, CDCl_3 , 260 K) de **28**

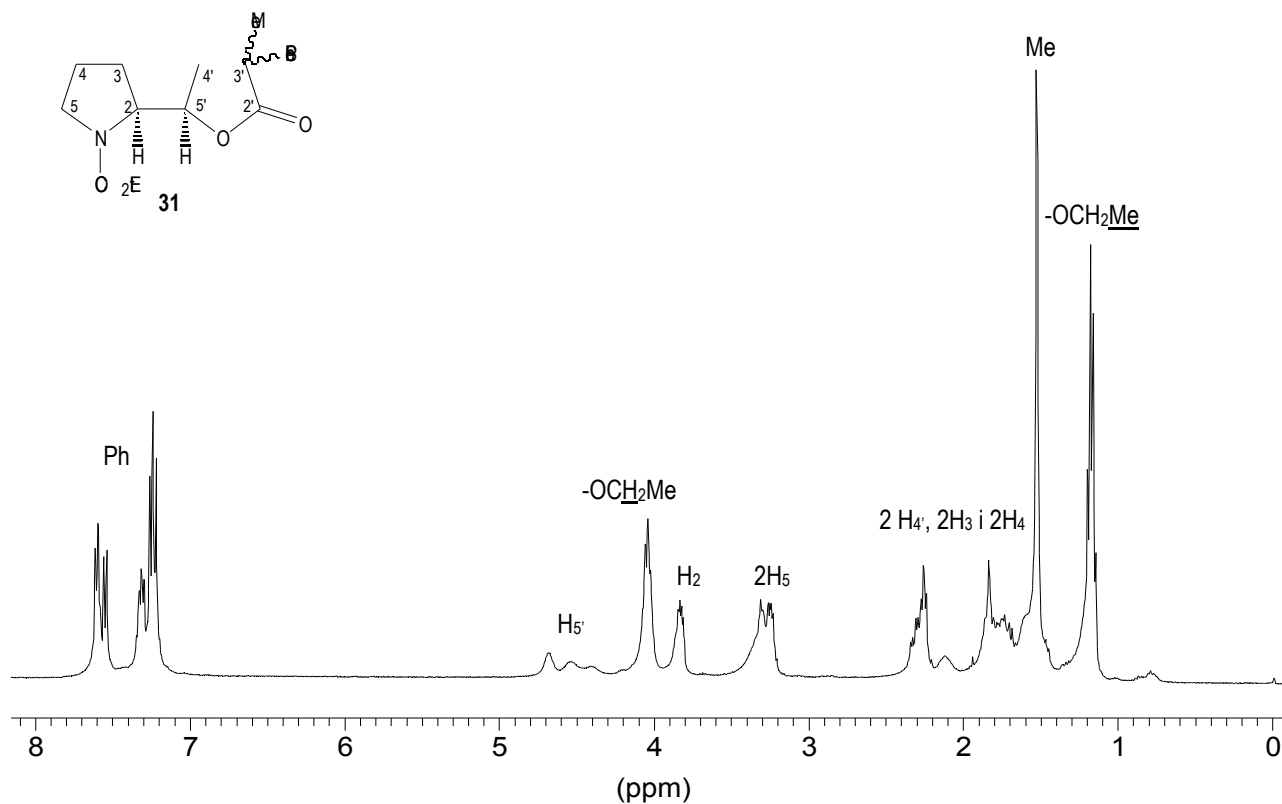


^{13}C -RMN (100 MHz, CDCl_3 , 260 K) de **28**

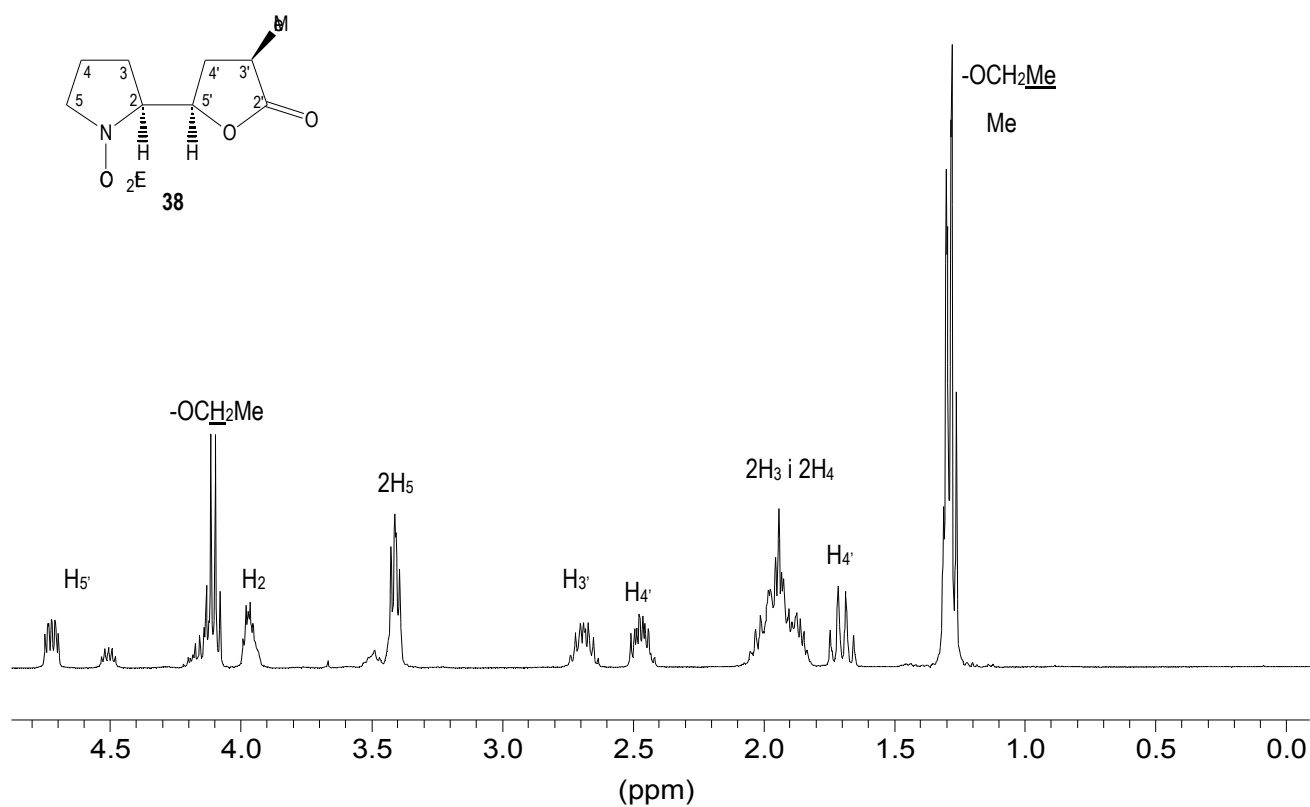


Correlació- $^1\text{H}/^{13}\text{C}$ (400 MHz, CDCl_3 , 260 K) de **28**

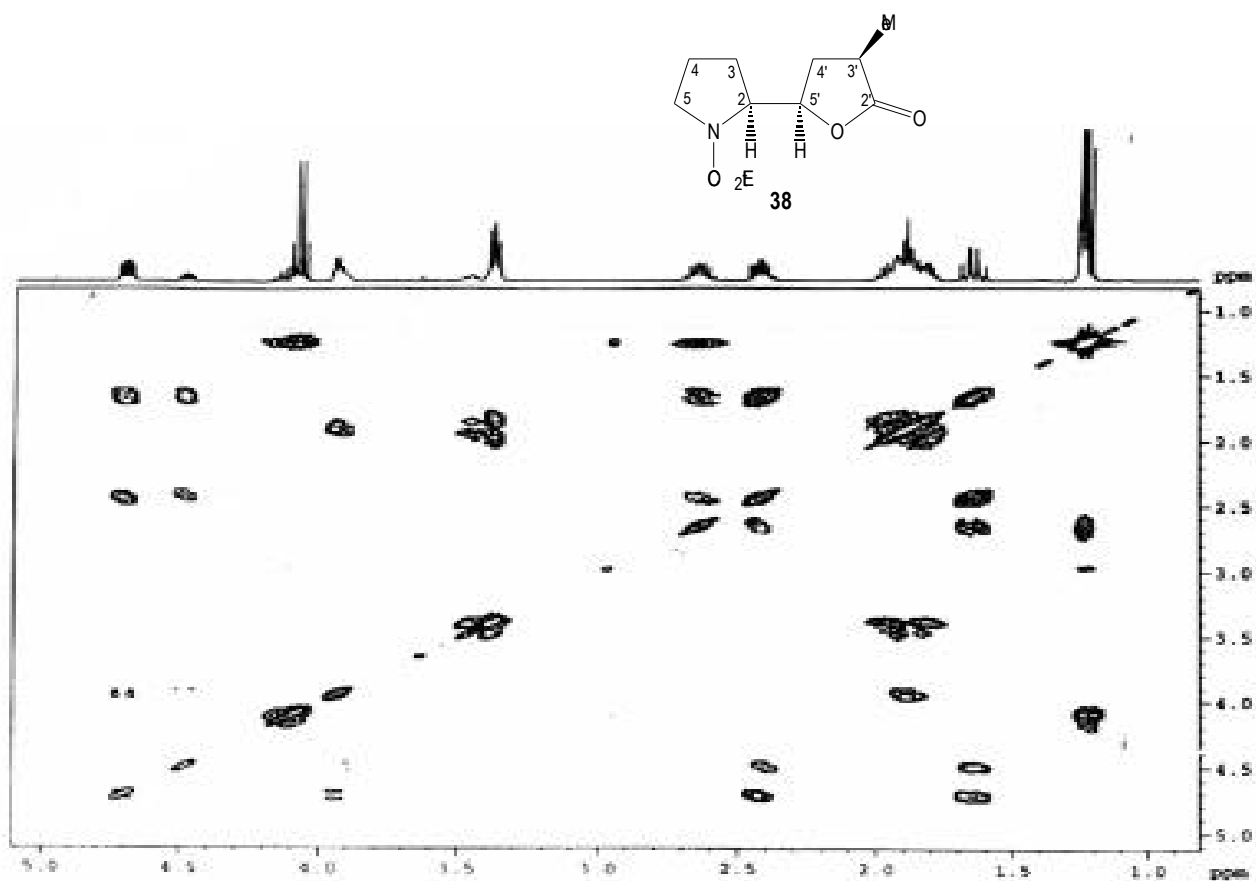
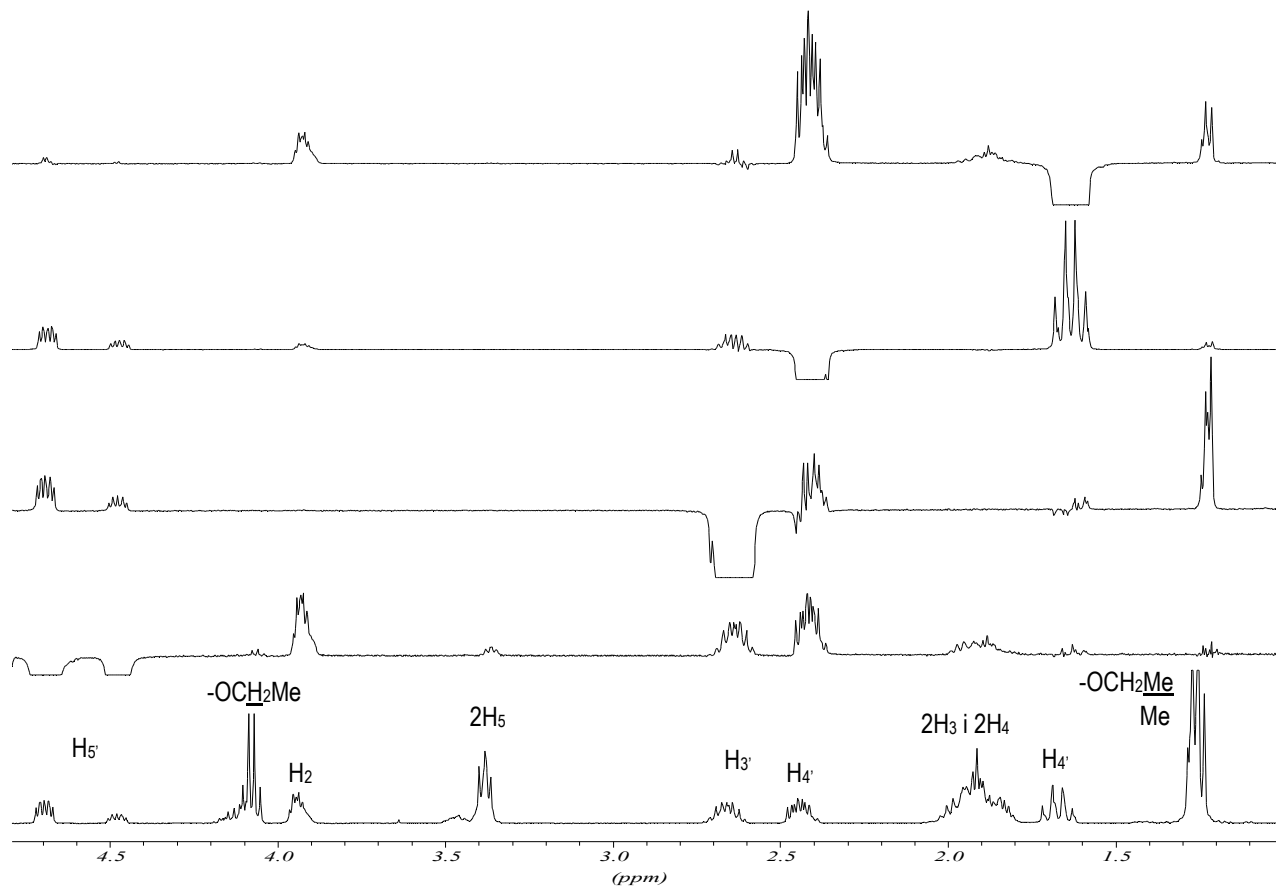


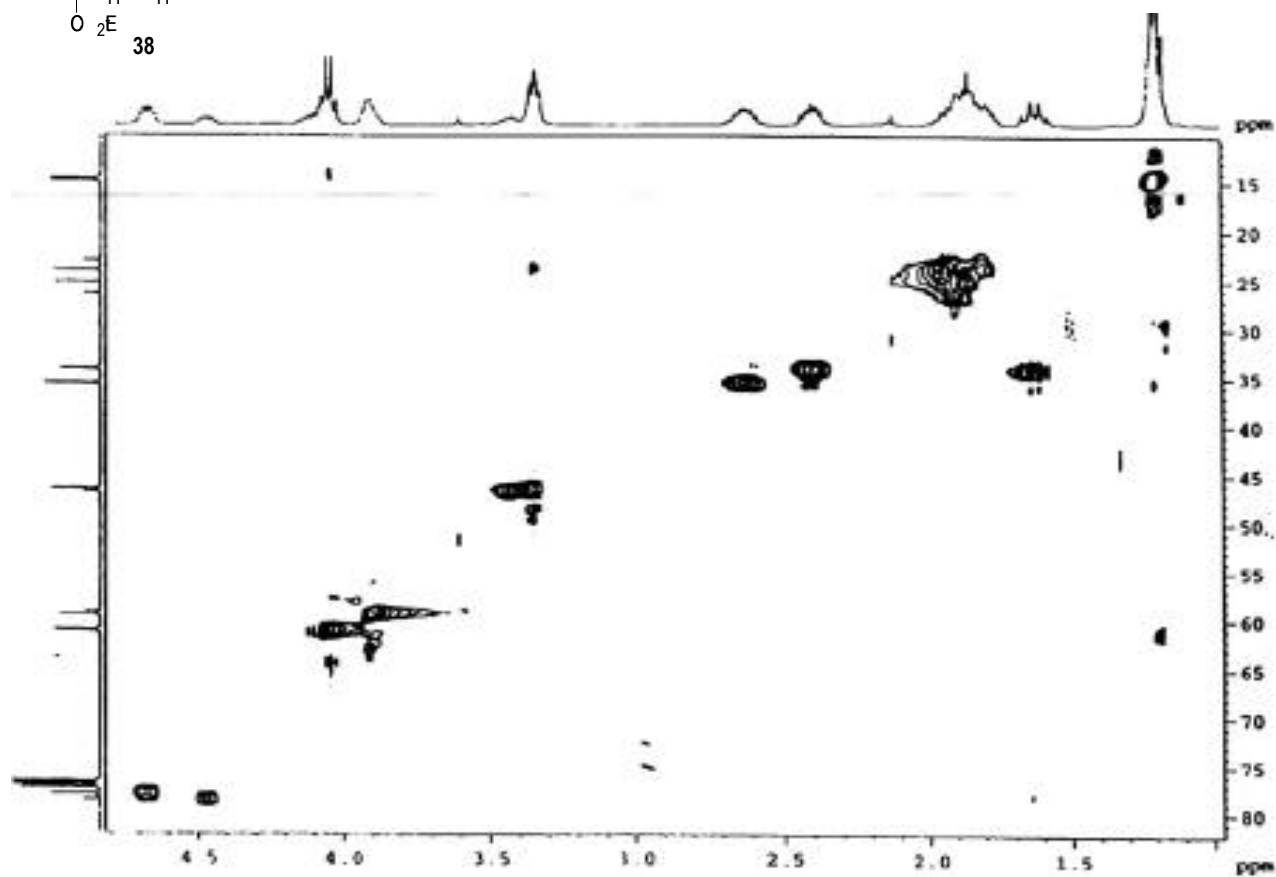
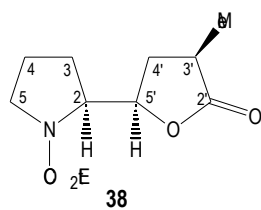
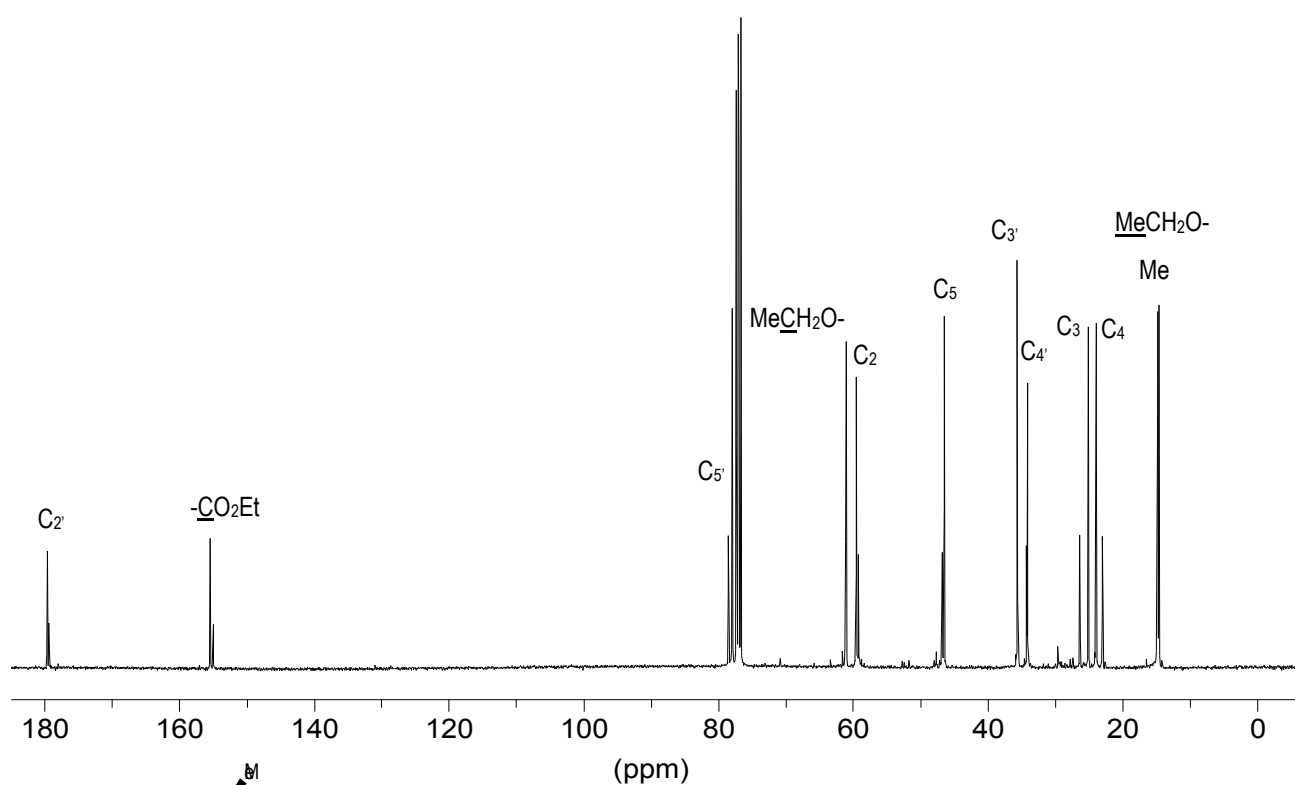


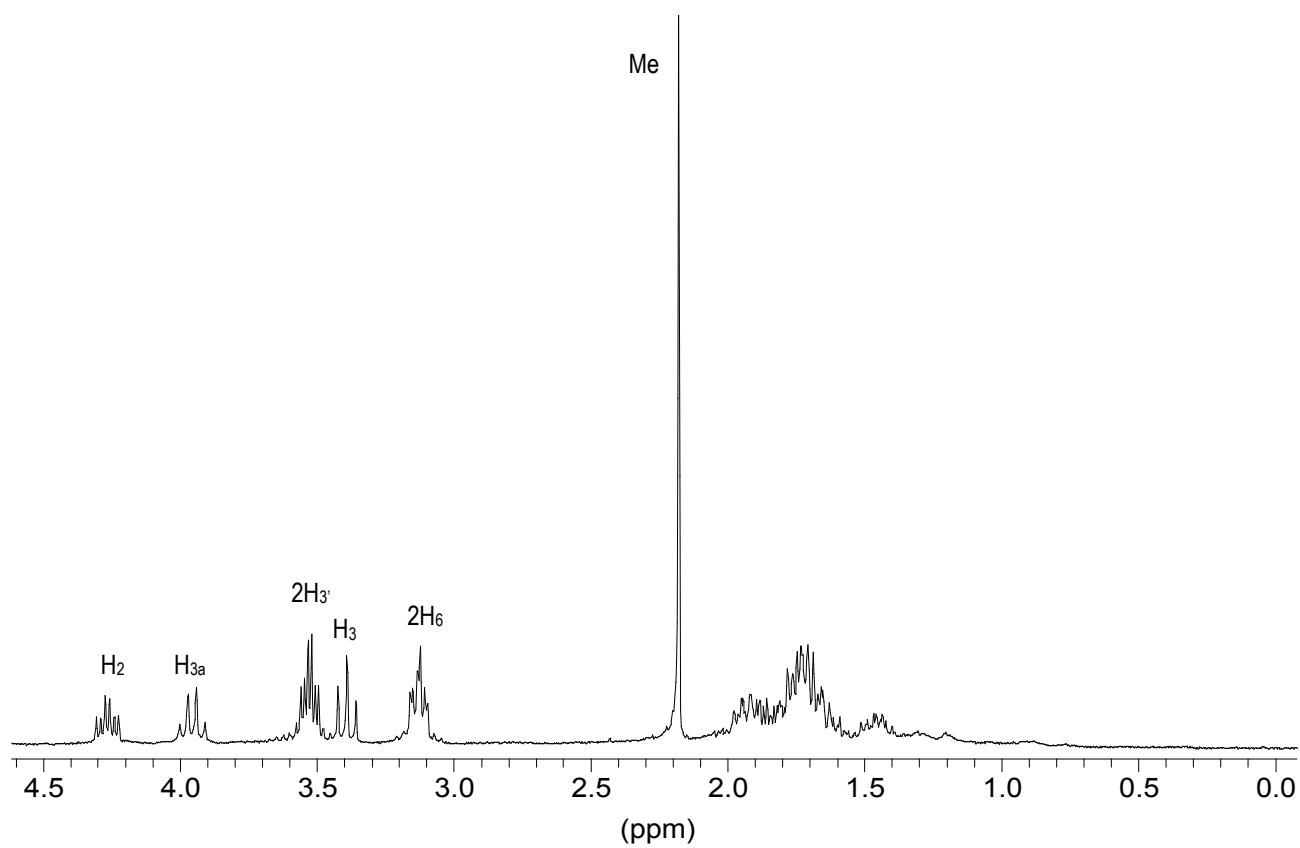
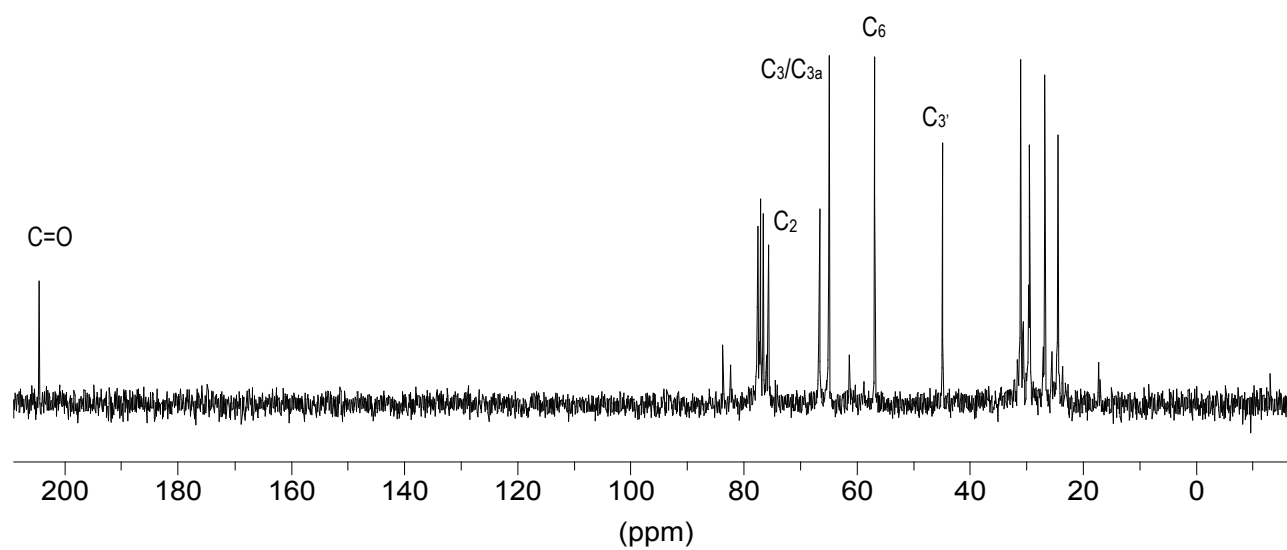
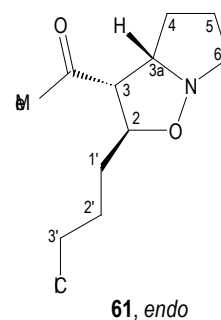
¹H-RMN (250 MHz, CDCl₃) de **31**

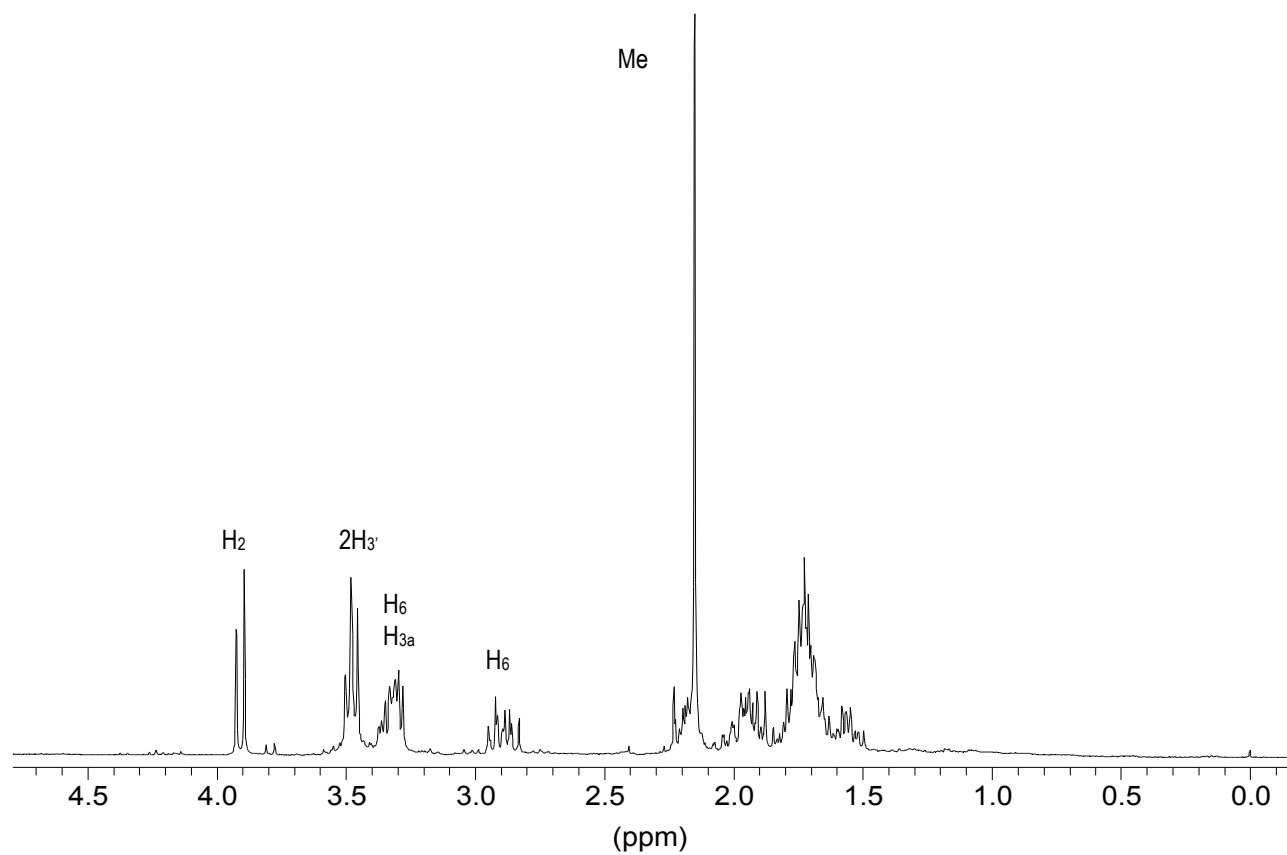


¹H-RMN (400 MHz, CDCl₃, 260 K) de **38**

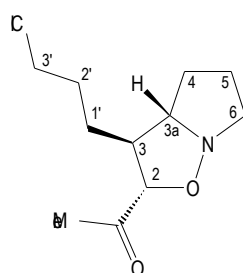
COSY (400 MHz, CDCl₃, 260 K) de **38**n.O.e. (400 MHz, CDCl₃, 250 K) de **38**



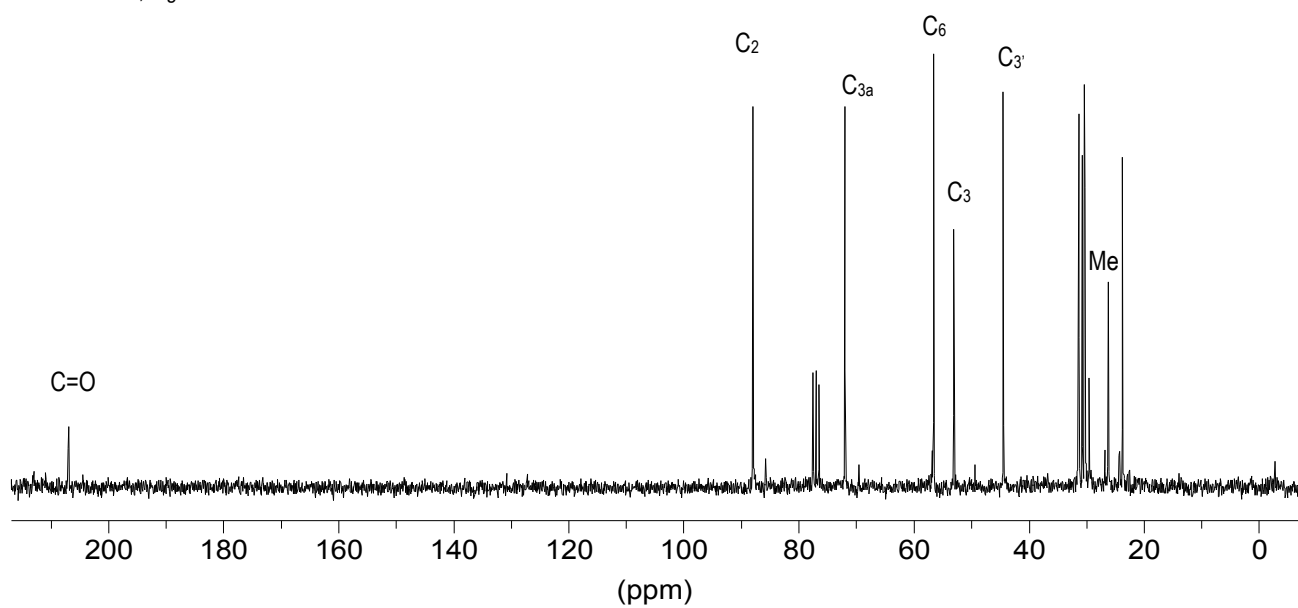
 $^1\text{H-NMR}$ (250 MHz, CDCl_3) de **61** $^{13}\text{C-NMR}$ (62.5 MHz, CDCl_3) de **61**



$^1\text{H-RMN}$ (250 MHz, CDCl_3) de **63**



63, regioendo



$^{13}\text{C-RMN}$ (250 MHz, CDCl_3) de **63**